

بررسی ارتعاشات آکوستیکی استوانه‌های دو لایه جدار ضخیم با وجود لایه میانی سیال قابل تراکم با استفاده از تئوری سه بعدی الاستیسیته

تاریخ دریافت: ۱۴۰۰/۵/۱۳

تاریخ پذیرش: ۱۴۰۰/۰۷/۱۰

علی ترکاشوند^۱, محمد بوالحسنی^۲, کامران دانشجو^{۳*}, مجید قادری^۴, بیژن محمدی^۵

۱- دانشجوی دکتری، مهندسی مکانیک، دانشگاه علم و صنعت ایران، تهران

۲- دانشجوی کارشناسی ارشد، مهندسی فناوری ماهواره، دانشگاه علم و صنعت ایران، تهران

۳- استاد، مهندسی مکانیک، دانشگاه علم و صنعت ایران، تهران، kjoo@just.ac.ir

۴- دانشجوی کارشناسی ارشد، مهندسی هواشناسی، دانشگاه علم و صنعت ایران، تهران

۵- دانشیار، مهندسی مکانیک، دانشگاه علم و صنعت ایران، تهران

چکیده

ساختارهای دوجداره کاربرد فراوانی در صنایع مختلفی چون هواپیما، دریایی و خودروسازی دارند. در این مقاله به بررسی پدیده انتقال صوت در این سازه‌ها پرداخته می‌شود. به دلیل تأثیرگذاری پارامترهای چرخش و برش با افزایش ضخامت پوسته استوانه‌ای، از روش تئوری سه بعدی الاستیسیته بر پایه نیوتونی استفاده می‌شود. برای حل معادله حرکت استوانه، فرض می‌شود که میدان جابه‌جایی مجموع گرادیان یک میدان پتانسیل اسکالار و کرل یک میدان پتانسیل برداری است. در نتیجه معادله حرکت پوسته به دو معادله موج مجزا تبدیل می‌شود که با حل آن‌ها میدان جابه‌جایی بدست می‌آید. برای اطمینان از معادله‌های بدست آمده، نتایج حاضر با نتایج دیگر محققان در این زمینه که با تئوری‌های دیگر چون کلاسیک حاصل شده‌اند، مقایسه می‌شود. در پایان، تأثیر پارامترهای مختلفی چون خصوصیات و ضخامت لایه سیال، عدد ماخ و جنس استوانه‌ها بررسی می‌شود. نتایج نشان می‌دهد که در سازه‌های دوجداره با لایه میانی سیال، مقاومت صوتی (حاصل‌ضرب سرعت صوت در چگالی) سیال عامل اصلی و تأثیرگذار در کنترل صوت است. هر سیالی که مقاومت صوتی بیشتری داشته باشد، در کنترل صوت بهتر رفتار می‌کند و افت انتقال صوت را بهبود می‌بخشد.

واژه‌های کلیدی: ساختارهای دوجداره، شکاف هوایی، تئوری سه بعدی الاستیسیته، افت انتقال صوت

۷

سال - شماره ۲۰

پاییز و زمستان ۱۴۰۰

نشریه علمی دانش و

فناوری هوا فضا



Three-dimensional elasticity solution for vibro-acoustic behavior of cylinder in the presence of subsonic flow

Ali. Tarkashvand¹, Mohammad. Bolhasani², Kamran. Daneshjou^{3*}, Majid Ghaderi⁴, Bijan
Mohammadi⁵

1- Ph.D. Student, Mechanical Engineering Department, Iran University of Science & Technology, Tehran

2- M.Sc. Student, School of Advanced Technologies, Iran University of Science & Technology, Tehran

3- Professor, Mechanical Engineering Department, Iran University of Science & Technology, Tehran

4- M.Sc. Student, Mechanical Engineering Department, Iran University of Science & Technology, Tehran

5- Associate Professor, Mechanical Engineering Department, Iran University of Science & Technology, Tehran

* P.O.B. 16846-13114 Tehran, Iran, kjoo@just.ac.ir

Abstract

Double-walled structures are widely used in various industries such as aerospace, marine, and automotive. Therefore, in this paper, the sound transmission in these structures is investigated. Due to the influence of rotation and shear parameters by increasing the thickness of the cylindrical shell, the Newton-based three-dimensional theory of elasticity is used. In order to solve the governing equation of motion for a cylinder, it is assumed that the displacement field is the sum of the gradients of a scalar potential field and the curl of a vector potential field. As a result, the shell motion equation becomes two separate wave equations, which solve the displacement field. To confirm the obtained equations, the present results are compared with the results of other researchers in this field that have been obtained with other theories such as classical shell theory. Finally, the effect of various parameters such as properties and thickness of the fluid layer, Mach number and material of the cylinders are investigated. The results show that in double-walled structures with the air gap, the acoustic impedance (the speed of sound multiplied by density) of the fluid is the main and effective factor in sound control. Any fluid with more Acoustic impedance behaves better in sound control and improves sound transmission loss.

Keywords: Double-walled structures, Air gap, Three-dimensional theory of elasticity, Sound transmission loss

۱. مقدمه

است. آن‌ها نتیجه گرفتند که انحنای صفحات، افت انتقال صوت را در فرکانس‌های پایین به دلیل سختی بالاتر افزایش می‌دهد. در ادامه، مطالعه انتقال صوت در پانل‌های ساندویچی دوچاره با وجود یک شکاف هوایی بین دو لایه نشان می‌دهد که این سازه‌ها پتانسیل زیادی برای کنترل انتقال نویز دارند. همچنین می‌توان افت انتقال صوت را از طریق تغییر پارامترهای مختلف شکاف هوا تغییر داد [۱۰].

دسته دوم تحقیقات به پوسته‌های استوانه‌ای دوچاره اختصاص داده شده است. تانگ و همکاران [۱۱و۱۲] افت انتقال صوت از پوسته‌های ساندویچی استوانه‌ای نامحدود تحریک شده توسط یک موج صفحه‌ای مایل با دو زاویه برخورد مختلف را پیش‌بینی کردند. در مطالعه آن‌ها، سیال‌های مختلف در داخل و خارج پوسته در نظر گرفته شده است. به علاوه، اثرات جریان هوای خارجی و اختلاف فشار منفی بین سطوح داخلی و خارجی پوسته به‌طور کامل در نظر گرفته شده است.

در ضمن، به‌منظور محاسبه افت انتقال صوت، آن‌ها به ترتیب از تئوری‌های نقدي-بری و مرتبه اول برشی^۶ (FSDT) برای پوسته‌های نازک و ضخیم استفاده کردند. گینت و همکاران [۱۳] دو مدل را در زمانیه سیلندرهای کامپوزیت لایه‌ای مقایسه کردند. کامپوزیتی لایه‌ای متقارن

بوده و در آن یک میدان جابه‌جایی در جهت ضخامت تعریف شده است. از طرفی، مدل دوم شامل یک استوانه کامپوزیتی لایه‌ای ضخیم گستته بود که در آن میدان جابه‌جایی و معادله‌های حرکت برای هر لایه به‌صورت جداگانه شرح داده شدند. علاوه بر این، در مطالعه آن‌ها، میدان جابه‌جایی با نظریه میندلین^۷ محاسبه شد. همچنین، اثرات خمش، برش عرضی، اینرسی چرخشی و زوایای لایه‌ای اورتوبروپیک^۸ در هر لایه در نظر گرفته شده‌اند. پس از آن، دانشجو و

پوسته‌های چندلایه به‌طور گسترده در صنایع مختلفی مانند خودروسازی، هواپما و سازه‌های دریایی استفاده می‌شوند. این سازه‌ها اغلب در جایی که تراکنش صوت سازه و سیال وجود دارد به‌کار می‌روند. برای مثال می‌توان به جداره موتور جت، بدنه خودرو و قطار و سازه بدنه زیردریایی اشاره کرد. این سازه‌ها می‌توانند به‌طور مؤثری افت انتقال صوت^۹ (TL) را در مقایسه با سازه‌های تک لایه به دلیل عایق صوتی مؤثر خود، افزایش دهند. افت انتقال صوت از پوسته‌های چندلایه در بسیاری از تحقیقات علمی بررسی شده است. به عنوان نمونه، در طول دهه‌های گذشته، انتقال صوت از سازه‌های دوچاره که یک شکاف هوا^{۱۰} بین در دو لایه مجزا سازه وجود دارد، توسط بسیاری از محققان از زمان ساخت مورد بررسی قرار گرفته است [۶-۱].

برخی از این تحقیقات بر افت انتقال صوت از صفحات دوچاره تمرکز کرده‌اند. به عنوان نمونه ایواشیج و اوتا [۷] روشی کاربردی برای اندازه‌گیری افت انتقال صوت برای یک صفحه دوچاره با شکاف هوا قابل استفاده در پانل‌های سبک ارائه دادند. ژین و همکاران [۸] اثرات جریان‌های خارجی روی انتقال صوت در صفحات دولایه ایروالاستیک^{۱۱} را به‌منظور شبیه‌سازی توان نویز انتقالی از پانل‌های بدنه هواپیما که به‌واسطه موتور هواپیما ایجاد می‌شود، بررسی کردند. به علاوه، انتقال صوت از یک سازه ساندویچی دولایه با هسته پوروالاستیکی^{۱۲} توسط ژو و همکاران [۹] موردمطالعه قرار گرفته است. در این مطالعه فرض شده که صفحات در هر دو طرف با سیال احاطه شده‌اند، همچنین به‌منظور مدل‌سازی دقیق‌تر شرایط پروازی واقعی، فرض شده که یک جریان خارجی یکنواخت در یک طرف پانل وجود دارد. همچنین نظریه بایوت^{۱۳} برای مدل‌سازی ماده پرووالاستیک استفاده شده

سال - شماره ۲
پاییز و زمستان ۱۴۰۰
نشریه علمی دانش و فناوری هوا فضا



دانشگاه آزاد اسلامی واحد اسلامشهر
دانشگاه آزاد اسلامی واحد اسلامشهر
دانشگاه آزاد اسلامی واحد اسلامشهر
دانشگاه آزاد اسلامی واحد اسلامشهر

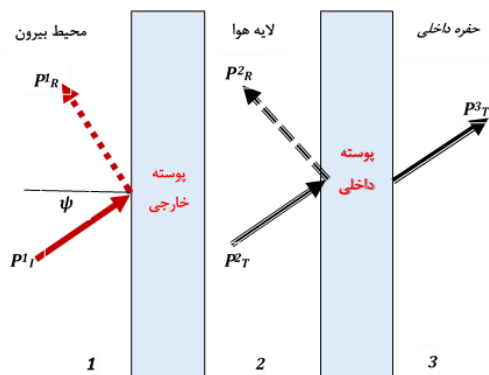
استوانهای دولایه غوطه‌ور در سیال تراکم پذیر با هسته ویسکوالاستیک^{۱۱} و تابعی مدرج^{۱۲} را بررسی کردند. افت انتقال صوت از پوسته‌های استوانهای سه جداره ساندویچی در حضور یک جریان خارجی به صورت تحلیلی توسط گلزاری و جعفری [۲۳] مورد مطالعه قرار گرفته است. در این مطالعه از تئوری لاو و تئوری ساده‌شده بایوت به ترتیب برای توصیف رفتار ارتعاشی پوسته و انتشار امواج آکoustیکی استفاده شده است. والانو و همکاران [۲۴ و ۲۵] انتقال صوت از یک پوسته کامپوزیتی چندلایه و ویسکوالاستیک را بررسی کردند. وانگ و همکاران [۲۵] رفتار ارتعاشی-آکoustیکی پوسته‌های استوانهای فولادی دولایه را به صورت تحلیلی و آزمایشگاهی مورد مطالعه قرار دادند. در این مطالعه، از روش ماتریس انتقال برای بررسی تحلیلی استفاده شده است؛ همچنین با تحریک فرکانس رفت و برگشت خطی^{۱۳} یا تحریک فرکانس خطی ثابت، یک مدل آزمایشی از پوسته طراحی شد.

مقدمه بالا بهوضوح نشان می‌دهد که تئوری پوسته کلاسیک و همچنین دیگر تئوری‌های پوسته نازک، که در بیشتر مطالعات به کار گرفته شده‌اند، به‌طور دقیق قادر به مدل کردن رفتار ارتعاشی و آکoustیکی پوسته‌های جدار ضخیم نیستند. بنابراین این تئوری‌ها در تحلیل پوسته‌های جدار ضخیم به‌خصوص در فرکانس‌های بالا که اثرات چرخش و برش بر انتقال صوت قابل نادیده گرفتن نیست، نمی‌توانند استفاده شوند. اما در این مقاله رویکردی متفاوت برای محاسبه افت انتقال صوت از یک پوسته استوانهای جدار ضخیم دولایه با استفاده از تئوری سه‌بعدی الاستیسیته ارائه شده است. تئوری سه‌بعدی الاستیسیته به دلیل نداشتن هیچ‌گونه فرض ساده کننده و در نظر گرفتن اثرات چرخش و برش، رفتار پوسته را در فرکانس‌های مختلف به‌خوبی مدل می‌کند. ابتدا روابط بین تنش و کرنش و

همکاران [۱۴] مدل‌سازی آکoustیکی پوسته استوانهای دوجداره کامپوزیتی لایه‌ای با لایه میانی پروالاستیک، را مورد مطالعه قرار دادند. در مطالعه آن‌ها، تئوری پوسته نازک کلاسیک^۹ (CST) برای مدل کردن پوسته‌های کامپوزیتی لایه‌ای داخلی و خارجی استفاده شده است، در حالی‌که یک مدل سیال معادل برای مدل کردن هسته پروالاستیک استفاده شد. ژو و همکاران [۱۵] در کار دیگری که پیکربندی مشابهی با کار دانشجو و همکاران [۱۴] دارد، اثر جریان خارجی را مورد بررسی قرار دادند. در کار آن‌ها، تئوری پوسته نازک لاو^{۱۰}، برای توصیف حرکت پوسته به کار گرفته شد. ژائو و همکاران [۱۶] مطالعه‌ای تحلیلی بر ارتعاشات و مشخصه‌های آکoustیکی پوسته استوانهای کامپوزیتی ارتوتروپیک نازک تحریک شده با یک نیروی مرکز هارمونیک در محیط‌های مرطوب انجام دادند. اخیراً، اثرات جریان در شکاف هوایی بر انتقال امواج آکoustیکی در پوسته ساندویچی دوجداره با هسته پروالاستیک توسط هی و همکاران [۱۷] و لی و هی [۱۸-۲۰] مورد بررسی قرار گرفته است. معادلات حرکت پوسته با استفاده از نظریه پوسته نازک لاو توصیف شده‌اند و ماده پروالاستیک که به عنوان سیال هم‌ارز در نظر گرفته می‌شود، با استفاده از نظریه ساده‌شده بایوت مدل شده است. ابتدا دانشجو و همکاران [۲۱] برای تحلیل افت انتقال صوت از پوسته استوانهای ضخیم از تئوری الاستیسیته سه‌بعدی استفاده کردند. در تحلیل آن‌ها، اثرات جریان خارجی بر انتقال صوت از پوسته استوانهای ضخیم بررسی شد. نتایج آن‌ها نشان می‌دهد که افزایش عدد ماخ جریان خارجی، افت انتقال صوت را در فرکانس‌های بالاتر از فرکانس رزونانس کاهش می‌دهد. در سال‌های اخیر، ترکاشوند و همکاران [۲۲] با استفاده از تئوری الاستیسیته سه‌بعدی رفتار آکoustیکی یک پوسته



در خارج استوانه، شکاف بین دو لایه و حفره داخلی وجود دارد. همچنین جریان خارجی با سرعت v در راستای طول استوانه در حرکت است. سیال به صورت ایده‌آل فرض شده‌اند و از اثرات لایه‌مرزی صرف نظر شده است. c_1 و c_3 بیانگر سرعت صوت در سه محیط بیان شده است.



شکل ۲- شماتیک استوانه دو لایه میانی هوایا

۳. معادلات ارتعاشی حاکم بر پوسته

۳-۱. معادله حرکت استوانه

معادله دیفرانسیل با مشتق‌ات جزئی حرکت استوانه را می‌توان با استفاده از توابع پتانسیل ψ و چرخش H , حل نمود. u را برابر مجموع گرادیان Φ و کرل H قرار داده و در معادله موج جایگزین می‌شود.

با استفاده از این روش معادله حرکت به دو معادله موج تجزیه می‌شود. برای هر کدام از پوسته‌ها معادله حرکت به شکل زیر است [۲۲]

$$\mu \nabla^2 u + (\lambda + \mu) \nabla(\nabla \cdot u) = \rho \frac{\partial^2 u}{\partial t^2} \quad (1)$$

$$u = \nabla \phi + \nabla \times H \quad (2)$$

$$H = H_r \hat{r}_r + H_\theta \hat{r}_\theta + H_z \hat{r}_z \quad (3)$$

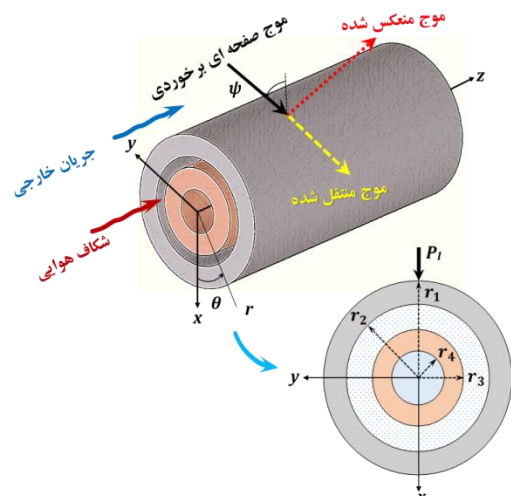
شرایط مرزی برای معادله حرکت، تنش‌ها و جابه‌جایی در سطح داخلی و بیرونی استوانه است. تنش‌های $\sigma_{rr}, \tau_{r\theta}, \tau_{rz}$ در سطح خارجی و داخلی عامل تحریک ارتعاش در استوانه هستند.

معادله (۲) در معادله حرکت استوانه جایگزین

جابه‌جایی‌ها در معادلات دینامیکی پوسته پیاده‌سازی می‌شوند، سپس معادلات حرکت پوسته با استفاده از تئوری الاستیسیته سه‌بعدی به دست می‌آیند. برای حل معادله حرکت، با استفاده از روش انتشار موج در سازه، فرض می‌شود که میدان جابه‌جایی مجموع گرادیان یک میدان پتانسیل اسکالار و کرل یک میدان پتانسیل برداری است. درنهایت افت انتقال صوت از پوسته در مجاورت جریان خارجی به‌واسطه برخورد موج صوتی صفحه‌ای، محاسبه می‌شود.

۲. توصیف مدل

هنده‌سه پوسته استوانه‌ای دو لایه جدار ضخیم با طول نامحدود در مختصات استوانه‌ای با مؤلفه‌های (r, θ, z) در شکل ۱ نشان داده شده است.



شکل ۱- هندسه پوسته استوانه‌ای ضخیم دو جداره و مؤلفه‌های مختلف موج

این پوسته از دو لایه (دیواره) ایزوتروپیک تشکیل شده است که با یک شکاف هوایی ایکدیگر مجزا شده‌اند. شعاع‌های خارجی و داخلی پوسته بیرونی به ترتیب r_1 و r_2 و شعاع‌های خارجی و داخلی پوسته داخلی به ترتیب r_3 و r_4 هستند. سازه موردنظر توسط یک موج صفحه‌ای مایل که با صفحه زاویه ψ می‌سازد، تحریک می‌شود. همچنین سیالی با چگالی ρ_1, ρ_2 و ρ_3 به ترتیب



٢-٣. حل معادلات موج

در این بخش به حل معادله‌های (۸) و (۱۰) پرداخته می‌شود. با حل این دو معادله میدان جابه‌جایی و تنش در استوانه جدار ضخیم به دست می‌آید. برای حل معادله‌های موج، ϕ و H را هارمونیک و به صورت زیر در نظر گرفته می‌شوند [۲۸ و ۲۹].

$$\phi(r, \theta, z, t) = \sum_{n=0}^{\infty} f(r) \cos(n\theta) e^{i(\omega t - k_z z)} \quad (11)$$

$$H_r(r, \theta, z, t) = \sum_{n=0}^{\infty} g_r(r) \sin(n\theta) e^{i(\omega t - k_z z)} \quad (12)$$

$$H_\theta(r, \theta, z, t) = \sum_{n=0}^{\infty} a_n(r) \cos(n\theta) e^{i(\omega t - k_z z)} \quad (13)$$

$$H_z(r, \theta, z, t) = \sum_{n=0}^{\infty} g_z(r) \sin(n\theta) e^{i(\omega t - k_z z)} \quad (14)$$

که در روابط بالا n مربوط به شکل مود استوانه k_z ، بیانگر عدد موج 14 در راستای محور طولی استوانه، ω فرکانس زاویه‌ای و t زمان است. در ادامه این بخش ثابت خواهد شد که بر حسب تابع بسل اصلاح 15 شده هستند، پس برای حل معادلات از اپراتور بسل استفاده می‌شود.

$$B_{n,x} = \frac{d^2}{dx^2} + \frac{d}{xdx} - \left(\frac{n^2}{x^2} - 1 \right) \quad (15)$$

که باید شرایط زیر را اغنا کند.

$$B_{n,x} = \frac{d^2}{dx^2} + \frac{d}{xdx} - \left(\frac{n^2}{x^2} - 1 \right) \quad (1\Delta)$$

که باید شرایط زیر را اغنا کند.

$$B_{n,\alpha r}[f] = 0 \quad (16)$$

$$B_{n,\beta r}[g_z] = 0 \quad (14)$$

$$B_{n,\alpha r}[f] = 0 \quad \text{الف) اعمال شرط} \quad (19)$$

$$\begin{aligned} \text{ابتدا تابع } f \text{ در معادله (۸) جایگزین می‌شود.} \\ v_1^2 \left(\frac{d^2 f(r)}{dr^2} + \frac{df(r)}{r dr} - \left(\frac{n^2}{r^2} + k_z^2 \right) f(r) \right) + \omega^2 f(r) = 0 \quad (۲۰) \end{aligned}$$

می شود و معادله حرکت استوانه به دو معادله موج
جزا تبدیل می شود.

$$\begin{aligned} \mu \nabla^2(\nabla\phi + \nabla \times H) + (\lambda + \\ \mu) \nabla \nabla \cdot (\nabla\phi + \nabla \times H) = \rho \frac{\partial^2}{\partial t^2}(\nabla\phi + \\ \nabla \times H) \end{aligned} \quad (4)$$

يا يسط معادله بالا:

$$\begin{aligned} & \frac{\mu}{\rho} \nabla^2 \nabla \phi + \frac{\mu}{\rho} \nabla^2 (\nabla \times H) + \\ & \frac{\lambda}{\rho} \nabla \nabla \cdot \nabla \phi + \frac{\mu}{\rho} \nabla \nabla \cdot \nabla \phi = \frac{\partial^2}{\partial t^2} \nabla \phi + \\ & \frac{\partial^2}{\partial t^2} (\nabla \times H) \end{aligned} \quad (\Delta)$$

اکنون دو ترم ϕ و H در معادله (۴) از هم تفکیک می‌شوند.

$$\begin{aligned} & \frac{\mu}{\rho} \nabla^2 \nabla \phi + \frac{\lambda}{\rho} \nabla \nabla \cdot \nabla \phi + \frac{\mu}{\rho} \nabla \nabla \cdot \nabla \phi \\ & + \frac{\lambda}{\rho} \nabla \nabla \cdot (\nabla \times H) + \frac{\mu}{\rho} \nabla \nabla \cdot (\nabla \times H) \\ & + \frac{\mu}{\rho} \nabla \nabla \cdot (\nabla \times H) = \frac{\partial^2}{\partial t^2} (\nabla \times H) \end{aligned} \quad (8)$$

پس از ساده‌سازی و چینش دوباره (۶) معادله موج اوا، حاصل می‌شود:

$$\frac{\lambda + 2\mu}{\rho} \nabla^2 \phi = \frac{\partial^2 \phi}{\partial t^2} \quad (\text{V})$$

اگر $v_1 = \sqrt{\frac{\lambda+2\mu}{\rho}}$ در نظر گرفته شود، معادله بالا به شکل زیر خواهد شد.

$$v_1^2 \nabla^2 \phi = \frac{\partial^2 \phi}{\partial t^2} \quad (\lambda)$$

برای معادله موج دوم بر حسب H را باید به معادله (۵) رجوع کرد. پس از ساده سازی و چینش دوباره، معادله موج دوم به دست خواهد آمد:

$$\frac{\mu}{\rho} \nabla^2 H = \frac{\partial^2 H}{\partial t^2} \quad (9)$$

اگر $v_2 = \sqrt{\frac{\mu}{\rho}}$ در نظر گرفته شود، معادله بالا به شکل زیر می‌شود.

$$\nu_2^2 \nabla^2 H = \frac{\partial^2 H}{\partial t^2} \quad (\text{1.4})$$

معادله‌های (۱۰) و (۸) اصلاح شده معادله حرکت استوانه هستند که در بخش بعد به حل آن‌ها پرداخته می‌شود. در این معادلات v_1 و v_2 به ترتیب سرعت موج طولی و برشی هستند.

$$u = \nabla f(r) \cos(n\theta) e^{i(\omega t - k_z z)} + \nabla \times (g_r(r) \sin(n\theta) e^{i(\omega t - k_z z)} \hat{i}_r + g_\theta(r) \cos(n\theta) e^{i(\omega t - k_z z)} \hat{i}_\theta + g_z(r) \sin(n\theta) e^{i(\omega t - k_z z)} \hat{i}_z) \quad (\text{FV})$$

با توجه به اینکه کرل H و گرادیان ϕ :

$$\nabla \times H = \left(\frac{\partial H_z}{r \partial \theta} - \frac{\partial H_\theta}{\partial z} \right) \hat{i}_r + \left(\frac{\partial H_r}{\partial z} - \frac{\partial H_z}{\partial r} \right) \hat{i}_\theta$$

$$+\left(\frac{\partial(rH_\theta)}{\partial r}-\frac{\partial H_r}{\partial\theta}\right)\hat{i}_r$$

$$\nabla\phi=\frac{\partial\phi}{\partial r}\hat{i}_r+\frac{\partial\phi}{r\partial\theta}\hat{i}_\theta+\frac{\partial\phi}{\partial z}\hat{i}_z \quad (\text{Eq. 9})$$

آنگاه با ساده کردن و قرار دادن معادله‌های

(۴۸) و (۴۹) در رابطه (۴۷) مؤلفه‌های بردار u به دست خواهند آمد.

$$u_r = (f' + \frac{n}{r}g_z) \quad (\Delta \cdot)$$

$$+ i g_\theta k_z) \cos(n\theta) e^{i(\omega t - k_z z)} \\ u_\theta = (-f - i g_r k_z) \quad (11)$$

$$u_z = (-ik_z f + \frac{g_\theta}{r} + g'_\theta) \sin(n\theta) e^{i(\omega t - k_z z)} \quad (\text{d2})$$

در معادله‌های جابجایی با قرار دادن توابع $f(r), g_r(r), g_\theta(r), g_z(r)$ میدان جابه‌جایی $A_1, B_1, A_2, B_2, A_3, B_3, A_4, B_4$ بر حسب مجهولات حاصل می‌شوند.

$$u_r(r) = \begin{cases} I_n'(\alpha r)A_1 + K_n'(\alpha r)B_1 \\ \qquad\qquad\qquad + \left(\frac{n}{r}\right)I_n(\beta r)A_2 \end{cases} \quad (\Delta^{\mathfrak{N}})$$

$$+ \left(\frac{n}{r}\right) K_n(\beta r) B_2 - i k_{1z} I_{n+1}(\beta r) A_3 \\ - i k_{1z} K_{n+1}(\beta r) B_3 \} \cos(n\theta) e^{i(\omega t - k_z z)}$$

$$u_\theta(r) = \left\{ \begin{array}{l} -\frac{n}{r} I_n(\alpha r) A_1 - \frac{n}{r} K_n(\alpha r) B_1 \\ -I'_n(\beta r) A_2 - K'_n(\beta r) B_2 \\ \qquad \qquad \qquad - ik_{1z} I_{n+1}(\beta r) A_3 \end{array} \right. \quad (\text{d4})$$

$$u_z(r) = \{ -ik_{1z}I_n(\alpha r)A_1 \\ - ik_{1z}K_n(\alpha r)B_1 \\ - \left\{ I'_{n+1}(\beta r) - \frac{n+1}{r}I_{n+1}(\beta r) \right\} A_3 \\ - \left\{ K'_{n+1}(\beta r) - \frac{n+1}{r}K_{n+1}(\beta r) \right\} B_3 \} \\ \cos(n\theta) e^{i(\omega t - k_z z)} \quad (55)$$

معادله مرتبه سوم بدل به دست می‌آید.

$$\begin{aligned} B_{n+1,\beta r}[g_r] - B_{n+1,\beta r}[g_\theta] &= 0 \\ \Rightarrow B_{n+1,\beta r}[g_r - g_\theta] &= 0 \end{aligned} \quad (\text{¶}\lambda)$$

همچنین برای دو معادله (۳۳) و (۳۷)

$$\begin{aligned} B_{n-1,\beta r}[g_r] - B_{n-1,\beta r}[g_\theta] &= 0 \\ \Rightarrow B_{n-1,\beta r}[g_r - g_\theta] &= 0 \end{aligned} \quad (\text{39})$$

با حل معادلات بدل نوع سوم (۳۸) و (۳۹) توابع $g_r(r), g_\theta(r)$ به دست می‌آیند.

$$g_r(r) - g_\theta(r) = A_3 I_{n+1}(\beta r) + B_3 K_{n+1}(\beta r) \quad (\text{F.})$$

$$g_r(r) + g_\theta(r) = A_4 I_{n-1}(\beta r) + B_4 K_{n-1}(\beta r) \quad (\text{41})$$

بسـل ضـرـاـبـ A₁, B₁, A₂, B₂, A₃, B₃, A₄, B₄

و مجهول هستند. پرای ساده کردن معادلات

فرض می شود که:

2g₁(r) (42)

$$= g_r(r) - g_\theta(r)$$

$$2g_1(r) = g_+(r) + g_-(r)$$

٣-٣. میدان حاچایه

میدان جابه‌جایی به صورت هارمونیک و تابعی از (r, θ, z, t) تعیین شود [۲۱]

$$u_r(r, \theta, z, t) = \sum_{n=0}^{\infty} U^n r(r) \cos(n\theta) e^{i(\omega t - k_z z)} \quad (\text{FF})$$

$$u_\theta(r, \theta, z, t) = \sum_{n=0}^{\infty} U^n_\theta(r) \sin(n\theta) e^{i(\omega t - k_z z)} \quad (\text{Eq } \Delta)$$

$$u_z(r, \theta, z, t) = \sum_{n=0}^{\infty} U_z^n(r) \cos(n\theta) e^{i(\omega t - k_z z)} \quad (46)$$

جنس تابع بسل هستند. برای بهدست آوردن میدان جابه‌جایی کافی است روابط استوانه قرار داده و مؤلفه‌های جابه‌جایی u در سه راستای (r, θ, z) را بهدست آورد.

(۶۶)

$$P_I^1(r, \theta, z, t) = P_0 \sum_{n=0}^{\infty} \epsilon_n (-i)^n J_n(k_{1r} r) \cos(n\theta) e^{i(\omega t - k_{1z} z)} \\ n = 0, 1, 2 \dots \\ k_1 = \frac{\omega}{c_1} \left(\frac{1}{1 + M \sin(\psi)} \right), k_{1r} = k_1 \cos(\psi), \quad (67)$$

$$k_{1z} = k_1 \sin(\psi)$$

بیانگر عدد موج در محیط بیرون است.
همچنین k_{1r} و k_{1z} نشان‌دهنده عدد موج
شعاعی و طولی هستند. در معادله بالا J_n تابع
بسیل مرتبه n است.

و ضریب نیومن برابر است با

$$\epsilon_n = \begin{cases} 1 & (n = 0) \\ 2 & (n \geq 1) \end{cases} \quad (68)$$

$$P_R^1(r, \theta, z, t) = P_r \sum_{n=0}^{\infty} H_n^2(k_{1r} r) \cos(n\theta) e^{i(\omega t - k_{1z} z)} \quad (69)$$

در محیط لایه هوا :

$$(70)$$

$$P_R^2(r, \theta, z, t) = P_r^2 \sum_{n=0}^{\infty} \epsilon_n (-i)^n H_n^1(k_{2r} r) \cos(n\theta) e^{i(\omega t - k_{2z} z)} \quad (71)$$

$$P_T^2(r, \theta, z, t) = P_t^2 \sum_{n=0}^{\infty} \epsilon_n (-i)^n H_n^2(k_{2r} r) \cos(n\theta) e^{i(\omega t - k_{2z} z)} \quad (72)$$

که

$$k_2 = \frac{\omega}{c_2}, \quad k_{2r}^2 = k_2^2 - k_{2z}^2 \quad (72)$$

بیانگر عدد موج در محیط لایه میانی است.
همچنین k_{2z} و k_{2r} نشان‌دهنده عدد موج
شعاعی و طولی هستند.
در حفره داخلی :

$$(73)$$

$$P_T^3(r, \theta, z, t) = P_t^3 \sum_{n=0}^{\infty} \epsilon_n (-i)^n H_n^2(k_{3t} r) \cos(n\theta) e^{i(\omega t - k_{3z} z)} \quad (74)$$

$$k_3 = \frac{\omega}{c_3}, \quad k_{3r}^2 = k_3^2 - k_{3z}^2,$$

بیانگر عدد موج در حفره داخلی می‌باشد.
همچنین k_{3z} و k_{3r} نشان‌دهنده عدد موج
شعاعی و طولی هستند. در معادله‌های بالا H_n^1 و H_n^2 توابع هنکل نوع اول و دوم هستند. در این

معادلات میدان تنش در مختصات قطبی

به صورت زیر است [۲۵].

$$\sigma_{rr} = \lambda \left(\frac{\partial u_r}{\partial r} + \frac{\partial u_\theta}{r \partial \theta} + \frac{u_r}{r} + \frac{\partial u_z}{\partial z} \right) + 2\mu \left(\frac{\partial u_r}{\partial r} \right) \quad (56)$$

$$\sigma_{\theta\theta} = \lambda \left(\frac{\partial u_r}{\partial r} + \frac{\partial u_\theta}{r \partial \theta} + \frac{u_r}{r} + \frac{\partial u_z}{\partial z} \right) + 2\mu \left(\frac{\partial u_\theta}{r \partial \theta} + \frac{u_r}{r} \right) \quad (57)$$

$$\sigma_{zz} = \lambda \left(\frac{\partial u_r}{\partial r} + \frac{\partial u_\theta}{r \partial \theta} + \frac{u_r}{r} + \frac{\partial u_z}{\partial z} \right) + 2\mu \left(\frac{\partial u_z}{\partial z} \right) \quad (58)$$

$$\tau_{r\theta} = \mu \left(\frac{\partial u_\theta}{\partial r} - \frac{u_\theta}{r} + \frac{\partial u_r}{r \partial \theta} \right) \quad (59)$$

$$\tau_{\theta z} = \mu \left(\frac{\partial u_\theta}{\partial z} + \frac{\partial u_z}{r \partial \theta} \right) \quad (60)$$

$$\tau_{rz} = \mu \left(\frac{\partial u_r}{\partial z} + \frac{\partial u_z}{\partial r} \right) \quad (61)$$

$$\mu = \frac{E}{2(1+v)} \quad (62)$$

$$\lambda = \frac{Ev}{(1+2v)(1-v)} \quad (63)$$

- اگر میدان جابه‌جایی در معادله‌های (۵۶)

(۶۱) قرار داده شود میدان تنش حاصل خواهد
شد.

می‌توان میدان جابه‌جایی و تنش را به صورت
ماتریسی نوشت.

$$\{u\}_{3 \times 1} = [D]_{3 \times 6} \{X\}_{6 \times 1} \quad (64)$$

$$\{\sigma\}_{6 \times 1} = [T]_{6 \times 6} \{X\}_{6 \times 1} \quad (65)$$

در حالی که $\{X\}$ ماتریس ضرایب مجہول
ماتریس برای هر لایه از استوانه هم‌جنس دارای
مقدار یکسانی است. درایه‌های ماتریس D و T در
پیوست آورده شده است.

۳-۴-۳. معادله‌های ارتعاشات آکوستیکی

استوانه جدار ضخیم دولایه با لایه میانی هوا

معادله‌های موج برگشتی و برخوردکننده در

مسئله به صورت زیر است:

در محیط بیرون ۱ [۲۹]

۱۴

سال - شماره ۲

پاییز و زمستان ۱۴۰۰

نشریه علمی دانش و

فناوری هوا فضا



$$[u] = [D] \times [T]^{-1} \times \begin{bmatrix} -P_T^2 - P_R^2 \\ 0 \\ 0 \\ -P_T^3 \\ 0 \\ 0 \end{bmatrix} \quad (\text{A3})$$

با ترکیب معادله‌های شرایط مرزی اویلر و دو رابطه (۸۲) و (۸۳) یک دستگاه معادله‌های با ۱۶ معادله و ۱۶ مجهول به دست می‌آید که با حل آن می‌توان $P_R^1, P_R^2, P_T^2, P_T^3$ به دست آورد.

٣-٥. ضریب افت انتقال صوت

ضریب افت انتقال صوت (TL), نسبت توان موج برخورد به توان موج منتقل شده در طول واحد استوانه است و به صورت زیر تعریف می‌شود [۲۱]

$$TL = 10 \log_{10} \frac{W^I}{\sum_{n=0}^{\infty} W_n^T} \quad (\text{A4})$$

که در آن W^T معرف توان موج منتقل شده در طول واحد استوانه است:

$$W^T = \frac{1}{2} Re \left\{ \int_0^{2\pi} P_T^3 \frac{\partial}{\partial t} (U_r)^* r d\theta \right\} \quad (\text{Eq. 1})$$

at $r \equiv r_a$

که در آن $\{ \dots \}$ Re و علامت $*$ به ترتیب قسمت حقیقی و مزدوج عبارت بالا هستند. با قرار دادن P_T^3 و $u_r(r)$ به دست آمده از حل دستگاه در معادله بالا می‌توان W^T را به صورت زیر نوشت:

$$\begin{aligned}
 & W_n^T \\
 &= \frac{1}{2} \int_0^{2\pi} \operatorname{Re} \left\{ P_T^3 H_n^1(k_{3t}r) \cdot (j\omega u_r(r))^* \right\} \\
 &\quad \times \int_0^r \cos^2(n\theta) r d\theta \quad \text{at } r = r_4 \\
 &= \frac{\pi b}{\partial_n} \\
 &\quad \times \operatorname{Re} \left\{ P_T^3 H_n^1(k_{3t}r) \cdot (j\omega u_r(r))^* \right\}
 \end{aligned} \tag{A6}$$

$$W^I = \frac{\cos(\psi) P_0^2}{\rho_1 c_1} r \quad \text{at } r = r_1 \quad (87)$$

بخش برای حل مسئله شرایط مرزی چهار نقطه از سازه را باید مدنظر قرار داد. شرایط مرزی تنش در سطح بیرونی استوانه بیرونی:

$$\begin{aligned} \sigma_{rr} + P_I^1 + P_R^1 &= 0, \\ \tau_{r\theta} = \tau_{rz} &= 0, \end{aligned} \quad (\forall \Delta)$$

شرایط مرزی تنش در سطح داخلی استوانه

بیرونی و سطح خارجی استوانه درون:

$$\begin{aligned} \sigma_{rr} + P_T^2 + P_R^2 &= 0, \\ \tau_{r\theta} = \tau_{rz} &= 0, \end{aligned} \quad (\forall \varepsilon)$$

شرایط مرزی تنش در سطح داخلی استوانه

داخلي:

$$\begin{aligned} \sigma_{rr} + P_T^3 &= 0, \\ \tau_{r\theta} = \tau_{rz} &= 0, \end{aligned} \quad (\text{VIV})$$

در سطح تماس استوانه و سیال شرایط مرزی

بهصورت معادله‌های اویلر است [۲۱ و ۲۲]

$$\begin{aligned} & \frac{\partial(P_I^1 + P_R^1)}{\partial r} \\ &= -\rho_1 \left(\frac{\partial}{\partial t} \right. \\ &+ V \cdot \nabla \left. \right)^2 U_r(r, \theta, z, t) \Big|_{r=r_1} \end{aligned} \quad (\forall \lambda)$$

$$\frac{\partial(P_T^2 + P_R^2)}{\partial r} = -\rho_2 \frac{\partial^2 U_r(r, \theta, z, t)}{\partial t^2} \Big|_{r=r_2} \quad (\text{V9})$$

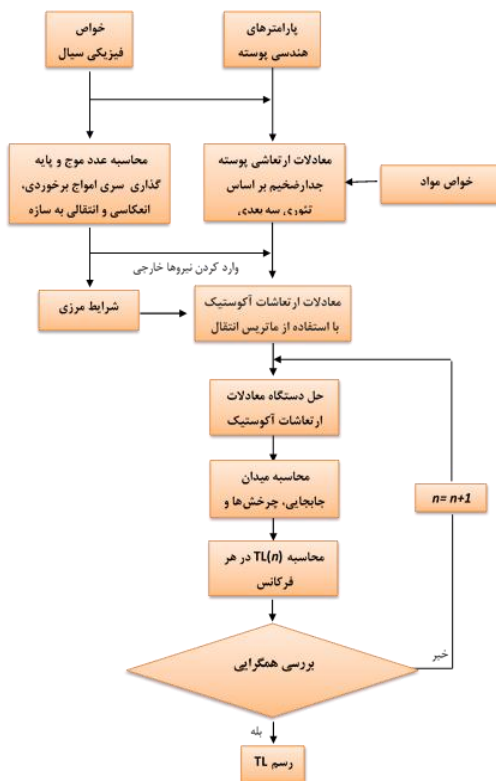
$$\frac{\partial(P_I^2 + P_R^2)}{\partial r} = -\rho_2 \frac{\partial^2 U_r(r, \theta, z, t)}{\partial t^2} \Big|_{r=r_3} \quad (\lambda \cdot)$$

$$\frac{\partial(P_T^3)}{\partial r} = -\rho_3 \frac{\partial^2 U_r(r, \theta, z, t)}{\partial t^2} \Big|_{r=r_4} \quad (\lambda 1)$$

برای استخراج معادله‌های ارتعاشات آکوستیکی ابتدا باید معکوس ماتریس T را تعیین کرد، سپس با قرار دادن شرایط مرزی تنش در رابطه جابه‌جایی و تنش میدان جابه‌جایی در سطح داخلی و بیرونی بر حسب فشار صوت برخورده به دست آورد.

$$[u] = [D] \times [T]^{-1} \times \begin{bmatrix} -P_I^1 - P_R^1 \\ 0 \\ 0 \\ -P_T^2 - P_R^2 \\ 0 \\ 0 \end{bmatrix} \quad (\text{A2})$$

معرض ارتعاشات آکوستیکی هستند به کار روند.
در ابتدا برای نشان دادن صحت مدل پیشنهادی،
نتایج به دست آمده در کار حاضر با نتایج
به دست آمده در کارهای، کوال [۲۷] برای یک
پوسته استوانه‌ای تک لایه ایزوتropیک و لی و کیم
[۶] برای یک پوسته استوانه‌ای دوجداره که هر
یک با تئوری‌های مختلف به حل این مسئله
پیرداخته‌اند، مقایسه شده است.



شكل ۳ - فلوچارت تحلیل مسئله به روش تئوری سه بعدی الاستیسیته به همراه الگوریتم همگرانی

شکل ۴ نتایج مقایسه حل حاضر و با کارکوال [۲۹] را نشان می‌دهد. برای این منظور پوسته استوانه‌ای ایزوتروپیک از جنس آلومینیم و داده‌های جدول ۱، با در نظر گرفتن شعاع $m = 1/5$ mm و ضخامت $1/5$ mm استفاده شده است. همان‌طور که در شکل مشاهده می‌شود، نتایج به دست آمده در کار حاضر با نتایج به دست آمده در کار کوال [۲۹] بر هم منطبق هستند، البته اختلاف اندکی بین نتایج به خصوص در فرکانس‌های پایین وجود دارد که این به دلیل این است که کوال از تئوری

با قرار دادن معادله‌های بالا در رابطه (۸۱) افت انتقال صوت به دست خواهد آمد.

$$TL = -10 \log_{10} \sum_{n=0}^{\infty} \frac{Re\{P_T^3 H_n^1(k_{3t} r_4) \cdot (j\omega u_r(r))^*\} \rho_1 c_1 \pi r_4}{r_1 \epsilon_n P_0^2 (1 + M_o \sin(\psi))}$$

٤ . الگوریتم همگرایی

همان‌گونه که در معادله‌های جابه‌جایی، تنش و روابط فشار صوت مشاهده می‌شود، پروسه تحلیل بهصورت سری‌های بی‌نهایت است. برای اینکه تعداد مودهای کافی در تحلیل‌ها منظور شود، همچنین تحلیل همگرا شود از یک الگوریتم همگرایی استفاده می‌شود. شکل ۳ الگوریتم همگرایی به کار گرفته شده در این تحلیل را نشان می‌دهد. زمانی که از تعداد مود کم در محاسبه استفاده شود، TL بیش از حد می‌شود. محاسبه ضریب افت انتقال بالاتر از حد واقعی توسط تنگ و همکاران [۱۱ و ۱۲] پیشنهاد شد. هرگاه در یک فرکانس مشخصی این الگوریتم همگرا شود، در تمامی فرکانس‌های زیر آن فرکانس همگرا می‌شود، زیرا تعداد مودهای بالاتری برای محاسبه ترم ضریب افت انتقال صوت در فرکانس‌های بالاتر نیاز است. بنابراین با لحاظ نمودن بیشینه تعداد تکرار، یک پروسه تکراری در هر فرکانس استفاده شده است. حلقه همگرایی تا زمانی که شرط همگرایی برقرار شود، ادامه می‌یابد. هنگامی که ضرایب افت انتقال محاسبه شده در دو محاسبه متواالی دارای درصد خطای کمتر از خطای مجاز باشند، تحلیل همگرایی خاتمه می‌یابد.

٥. اعتبار سنگی نتایج حاصل از تئوری سعدی الاستیستیه

مدل تحلیلی به دست آمده در این مقاله، این قابلیت را دارد که برای طراحی سیستم‌های استوانه‌ای شکل مت Shank از مواد ناهمسانگرد، کامپوزیت لایه‌ای و حتی مواد تابعی مدرج که در

$$f_c = \frac{c_1^2(1 + M_1 \sin(\psi))^2}{2\pi h} \sqrt{\frac{12\rho(1 - v^2)}{E}} \quad (90)$$

$$f_{coin} = \frac{c_1^2(1 + M_1 \sin(\psi))^2}{2\pi h \sin^2(\psi)} \sqrt{\frac{12\rho(1 - v^2)}{E}} \quad (91)$$

۶. نتایج

۱-۶. بررسی افت انتقال صوت استوانه‌ی جدار ضخیم با وجود لایه‌ی هوا

برای بررسی افت انتقال صوت در استوانه‌ی جدار ضخیم با وجود لایه‌ی هوا از داده‌های جدول ۲ استفاده شده است. دو استوانه هم مرکز با طول نامحدود در نظر گرفته شده است، بدین‌گونه که بین دو لایه استوانه لایه‌ای از هوا وجود دارد. در این بخش برای اینکه تأثیر لایه‌ی هوا بر افت انتقال صوت نشان داده شود، یک نوار باریک از ضخامت استوانه خالی کرده و هوا جایگزین آن شده است. در شکل ۶، R_e و R_i به ترتیب شعاع متوسط پوسته خارجی و داخلی هستند.

۱۷

سال ۱۰ - شماره ۱
پاییز و زمستان ۱۴۰۰
نشریه علمی دانش و فناوری هوا فضا



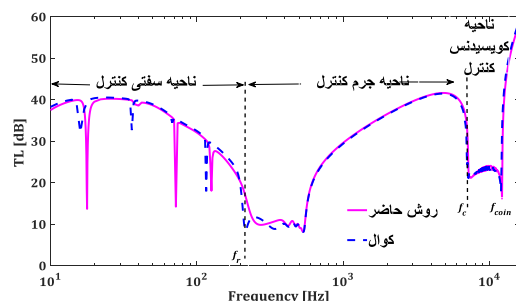
دانشمندان ایرانی
پژوهش اراده‌گذاران
آکوستیک اسوندینگ
دو الیه
سازمانی
جهانی
قبل از تراکم با استفاده از تئوری سه بعدی
دینامیکی
با وجود

جدول ۱ شرایط محیطی و خواص پوسته برای مقایسه با کار کوال [۳۹]

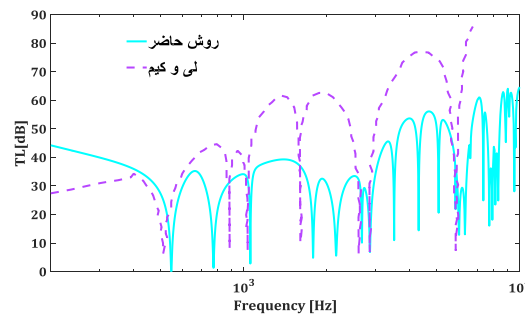
| ماده و سیال | استوانه آلومنیوم | پوسته استوانه | بیرون | داخل | |
|--------------|------------------|---------------|-------|-------|-------------|
| چگالی | ۰.۹۴ | ۰.۳۷۹۵ | ۲۷۶۰ | kg/m³ | پوسته هوا |
| مدول یانگ | - | - | ۷۲ | GPa | استوانه هوا |
| نسبت پواسون | - | - | ۰.۳ | | استوانه هوا |
| شعاع | - | - | ۱.۵ | m | استوانه هوا |
| ضخامت | - | - | ۱.۵ | mm | استوانه هوا |
| سرعت صوت | ۳۲۸.۵ | ۲۹۶.۶ | - | m/s | استوانه هوا |
| زاویه برخورد | ۴۵ | | deg | | |

برای تجزیه و تحلیل افت انتقال صوت در استوانه جدار ضخیم با لایه‌ی هوا یک استوانه با شعاع متوسط ۰/۵ متر و ضخامت ۲۸ میلی‌متر در

امپدانس استفاده کرده است و در کار وی معادله‌های حاکم در راستاهای محوری و محیطی نادیده گرفته شده‌اند.



شکل ۴ مقایسه افت انتقال صوت در استوانه جدار نازک بین کار حاضر و کوال [۳۹]



شکل ۵- مقایسه افت انتقال صوت در استوانه دوجداره بین کار حاضر و لی و کیم [۶]

شکل ۵ مقایسه‌ای بین مدل حاضر و کار لی و کیم [۶] را نشان می‌دهد. این مقایسه با توجه به داده‌های داده شده در [۶] برای یک پوسته استوانه‌ای دوجداره انجام گرفته است. مشاهدات نشان می‌دهند که تطابق خوبی بین دو تئوری تحلیلی به‌ویژه در افتادگی‌های 16 نمودار (فرکانس f_r و f_c) افت انتقال صوت وجود دارد. اما اختلافاتی بین این کارها مشاهده می‌شود، این اختلافات به چند دلیل رخ داده است: ابتدا لی و کیم از تئوری کلاسیک در کار خود استفاده کرده اند در حالی که در کار حاضر از تئوری سه‌بعدی الاستیسیته استفاده شده است و دوم برحی ساده‌سازی‌ها و اشتباهات عددی در کار لی و کیم وجود دارد.

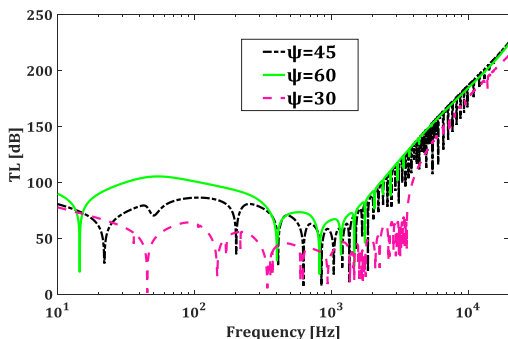
$$f_r = \frac{1}{2\pi R} \sqrt{\frac{E}{\rho}} \quad (89)$$

جدول ۲ - شرایط محیطی و خواص پوسته با وجود لایه هوا

| ماده (سیال) | پوسته یوسته | داخل استوانه | شکا استوانه | بیرون استوانه | ف | هوا | هوا | هوا | فولاد | فولاد | هوا | هوا | هوا |
|----------------------|-------------------|--------------|-------------|---------------|---|-----|------|------|-------|-------|-----|-----|-----|
| چگالی مدول یانگ | Kg/m ³ | ۷۷۵۰ | ۷۷۵۰ | ۷۷۵۰ | - | ۱۰۳ | ۰.۹۴ | ۱.۲۱ | - | - | - | - | - |
| نسبت پواسون سرعت صوت | GPa | ۱۹۰ | ۱۹۰ | ۱۹۰ | - | - | - | - | ۰.۳ | ۰.۳ | - | - | - |
| سرعت صوت | m/s | - | - | - | - | ۳۸۹ | ۳۷۱ | ۳۴۳ | - | - | - | - | - |

۲-۶. بررسی اثر زاویه برخورد موج بر روی افت انتقال صوت استوانه دولایه

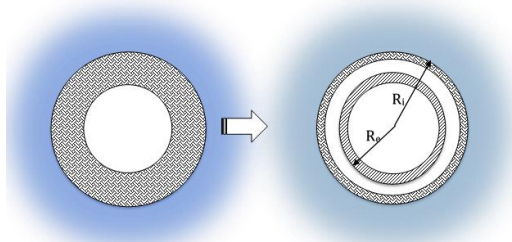
شکل ۸ تغییرات افت انتقال صوت استوانه دو لایه که ضخامت استوانه بیرونی و داخلی $13/5$ میلی‌متر و ضخامت لایه هوا 1 mm را در سه زاویه پرخورده 45° ، 60° و 30° درجه نشان می‌دهد.



شکل ۸- تأثیر زاویه برخورد در انتقال صوت پوسته جدار ضخیم دولایه

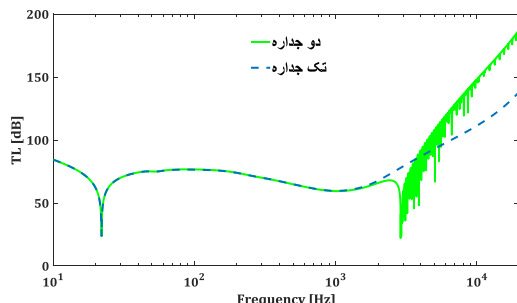
همان طور که از شکل پیداست با افزایش زاویه برخورد افت انتقال صوت افزایش یافته به عبارتی در شکل افت انتقال صوت در زاویه 60° درجه بیشتر از زاویه 30° و 45° درجه است. هرچه زاویه با خط عمود بر محور طولی استوانه کمتر باشد، به تبع آن عدد موج طولی k_{lz} کاهش یافته و عدد موج شعاعی k_{3t} و k_{1r} بالا رفته که باعث افزایش موج عبوری و کاهش افت انتقال صدا می‌شود. پس باید برای کاهش صوت عبوری در 30° درجه و زاویه‌های پایین‌تر دنبال پارامترهای مهم‌تر

نظر گرفته شده است. شکل ۷ تأثیر یک لایه هوا به ضخامت ۰/۰۱ میلیمتر بر افت انتقال صوت استوانه جدار ضخیم نشان می دهد. استوانه بیرونی دارای ضخامت ۱۴ میلیمتر و شعاع متوسط ۱۴/۵۰ متر و استوانه داخلی با ضخامت تقریباً ۱۴ میلیمتر و شعاع متوسط ۰/۴۹۳ متر هستند که برای این تحلیل از داده های جدول ۲ استفاده شده است. با توجه به شکل ۷ در فرکانس های پایین لایه هوا تأثیر چندانی بر افت انتقال صوت پوسته موردنظر ندارد. اما در فرکانس های بالاتر وجود لایه هوا بین دولایه استوانه باعث افزایش افت انتقال صوت می شود، که این به دلیل اثر میرایی ایجاد شده در پوسته های دوجداره به سبب وجود فاصله هوابی است.



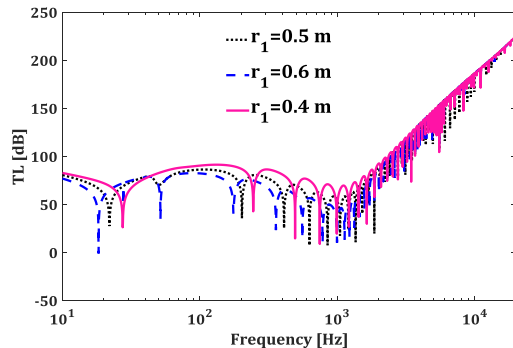
شکل ۶- شماتیک استوانه تک لایه همگن و دو لایه با شکاف هوا

فرکانس‌های بحرانی^{۱۷} و کویسیدنس^{۱۸} با افزایش ضخامت کاهاش یافته و به فرکانس رینگ^{۱۹} نزدیک می‌شوند به همین علت در تغییرات افت انتقال صوت در پوسته‌های جدار ضخیم روندی مانند تغییرات افت انتقال صوت در پوسته‌های جدار نازک نیست.

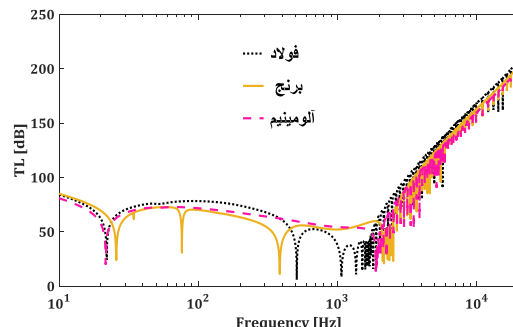


شکل ۷- تأثیر لایه هوا در انتقال صوت پوسته جدار ضخیم

در فرکانس‌های پایین، کاهش شعاع پوسته موردنظر (با ثابت نگهداشتن ضخامت) به دلیل افزایش سفتی و صلبیت خمی، باعث افزایش افت انتقال صوت در سازه موردنظر می‌شود. اما در فرکانس‌های بالا، همان‌طور که در شکل نمایان است، کاهش شعاع پوسته تأثیر چندانی بر افت انتقال صوت ندارد.



شکل ۱۰- تغییرات افت انتقال صدا استوانه جدارضخیم فولادی با ضخامت پوسته ثابت و شعاع متغیر



شکل ۱۱- تغییرات افت انتقال صدا در استوانه جدارضخیم نسبت به جنس پوسته‌ها با وجود لایه هوا

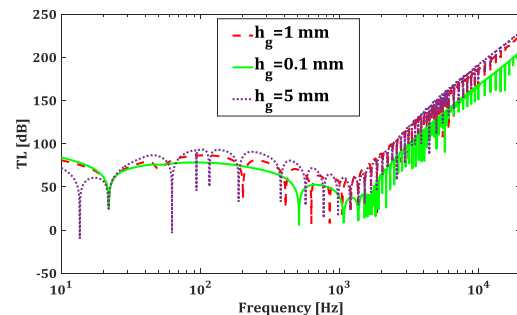
۶-۵. بررسی اثر تغییر جنس پوسته‌ها در افت انتقال صوت

تغییرات افت انتقال صوت در استوانه جدارضخیم نسبت به جنس پوسته‌ها با وجود لایه هوا را نشان می‌دهد. در این تحلیل جنس استوانه بیرونی فولاد در نظر گرفته شده و جنس پوسته داخلی متغیر برای سه حالت فولاد، آلومینیوم و برنج با خواص مکانیکی بیان شده در جدول ۳

گشته. در تغییر مقدار زاویه برخورد سفتی عامل کنترل انتقال صوت در استوانه جدار ضخیم است. در ادامه مطالعه برای بررسی اثرات دیگر پارامترها بر افت انتقال صوت استوانه جدار ضخیم از زاویه ۴۵ درجه استفاده شده است.

۶-۶. بررسی اثر تغییر ضخامت لایه هوا بر افت انتقال صدا

شکل ۹ تأثیرات تغییر ضخامت لایه هوا بر افت انتقال صدا را نشان می‌دهد. استوانه داخلی و بیرونی هم‌جنس، فولادی و ضخامت هرکدام ۱۳/۵ میلی‌متر و شعاع متوسط استوانه بیرونی ثابت و ۰/۵۰۷۲۵ متر در نظر گرفته شده است. شکل ۹ بیانگر این مطلب است که افزایش ضخامت فاصله هوازی باعث افزایش افت انتقال صوت در پوسته می‌شود، این به دلیل افزایش میرایی ایجاد شده ناشی از افزایش فاصله بین دو جداره است. بنابراین با توجه به بررسی صورت گرفته، در طراحی سازه موردنظر تا جایی که الزامات طراحی اجازه دهد می‌توان فاصله دو جداره را افزایش داد.



شکل ۹ اثر تغییر ضخامت لایه هوا بر افت انتقال صوت

۶-۷. بررسی اثر شعاع بر افت انتقال صوت استوانه دولایه جدارضخیم

شکل ۱۰ تغییرات افت انتقال صوت در استوانه جدارضخیم فولادی با ضخامت پوسته ثابت و شعاع متغیر را نشان می‌دهد. ضخامت لایه هوا ۱ mm لحاظ شده است. با توجه به شکل ۱۰،

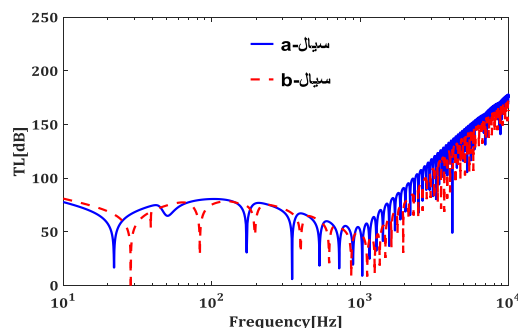


برابر است با حاصل ضرب سرعت صوت در چگالی سیال. هر سیالی که مقاومت صوتی بیشتری داشته باشد در کنترل صوت بهتر رفتار می‌کند و افت انتقال صوت را بهبود می‌بخشد.

جدول ٤- مشخصات سیال a و b

| سيال (b) | سيال (a) | سيال |
|----------|----------|-------------------|
| ٠.٩٤ | ١.٢١ | Kg/m ³ |
| ٣٨٩ | ٣٤٣ | m/s |

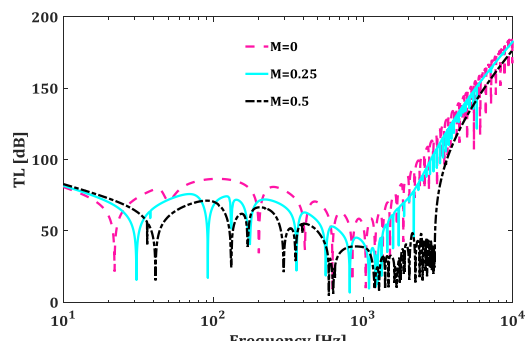
چگالی سرعت صوت



شكل ١٢ - تأثير مشخصات سیال بر افت انتقال صوت

۷-۶. تأثیر جریان خارجی بر افت انتقال صوت

برای بررسی تأثیر جریان خارجی بر افت انتقال صوت، پوسته موردنظر غوطه‌ور در یک جریان خارجی با اعداد ماخ مختلف 0 ، 0.25 و 0.5 در نظر گرفته شده است. با توجه به شکل ۱۳ افزایش عدد ماخ جریان خارجی باعث کاهش افت انتقال صوت در پوسته استوانه‌ای دو جداره می‌شود، که این به دلیل پدیده سفتی منفی و میرایی تشعشعی [۳۰] است که به علت حضور جریان به سیستم اضافه می‌شود.



شكل ۱۳- تأثیر عدد ماخ جریان خارجی بر افت انتقال صوت

مورد مقایسه قرار گرفت. ضخامت لایه هوای mm ۰/۱ و ضخامت هریک از پوسته‌ها mm ۹/۱۳ است. همان‌طور که در شکل ۱۱ نشان داده شده است، در فرکانس‌های پایین (ناحیه سفتی کنترل) پوسته با دو لایه فولادی به دلیل سفتی بالاتر نسبت به دولاویه فولاد-برنج و فولاد-آلومینیوم، دارای افت انتقال صوت بیشتری است. همچنین به دلیل نزدیک شدن فرکانس کویسیدنس و بحرانی به فرکانس رینگ، پوسته با دولاویه فولادی در فرکانس‌های بالا (ناحیه کویسیدنس کنترل) نیز افت انتقال صوت بیشتری دارد.

جدول ٣- خواص مکانیکی فلزات فولاد، برنج و آلومینیوم

| ماده | فولاد | برنج | آلومينيوم |
|-------------|-------------------|------|-----------|
| چگالي | Kg/m ³ | ۷۷۵۰ | ۸۵۰۰ |
| مدول يانگ | GPa | ۱۹۰ | ۱۰۴ |
| نسبت پواسون | - | ۰.۳ | ۰.۳۷ |

۶-۶. تأثیر مشخصات سیال (هوا) بر افت انتقال صوت

به منظور بررسی تأثیر مشخصات سیال (هوا) بر افت انتقال صوت در پوسته استوانه‌ای دوجداره، سیالات محیط خارج و درون پوسته استوانه‌ای، همچنین فاصله هوایی یکسان در نظر گرفته شده‌اند. سپس دو سیال (هوا) a و b با مشخصات گفته شده در جدول ۴ مورد بررسی قرار گرفتند. همان‌طور که در شکل ۱۲ نمایان است، مشخصات سیال در فرکانس‌های پایین (کمتر از ۱۰۰۰ هرتز) تأثیر چندانی بر افت انتقال صوت ندارد، اما در فرکانس‌های بالا پوسته غوطه‌ور شده در سیال a افت انتقال صوت بیشتری نسبت به سیال b دارد.

در این تحلیل مقاومت صوتی ^{۲۰} عامل اصلی و تأثیرگذار در کنترل صوت است. مقاومت صوتی،

می‌شود و به تبع آن به کاهش افت انتقال صوت منجر می‌شود.

۸. فهرست علائم

| | |
|------------------------|--------------|
| شعاع خارجی (m) | A |
| شعاع داخلی (m) | B |
| سرعت صوت (m/s) | C |
| دنسی بل | dB |
| مدول یانگ (Pa) | E |
| فرکانس (1/s) | F |
| مدول برشی (Pa) | G |
| ضخامت (m) | H |
| عدد موج محوری | k_z |
| عدد موج شعاعی | k_r |
| عدد ماخ | M |
| شماره مود | N |
| فشارصوت (Pa) | P |
| فشارصوت داخلی (Pa) | $P_{t.}$ |
| فشارصوت معکس شده (Pa) | P_r |
| شعاع (m) | R |
| زمان (s) | T |
| جابه‌جایی (m) | U |
| علائم یونانی | |
| تنش نرمال (Pa) | σ |
| زاویه برخورد موج (deg) | ψ |
| ضریب نیومن | ϵ_n |
| ضریب پواسون | v |
| سرعت زاویه‌ای (rad/s) | ω |
| کاربر لایپلاسین | ∇^2 |
| مدول برشی (Pa) | μ |
| ۹. پیوست | |
| درایه‌های ماتریس D | |
| $D_{11} = I'_n(ar)$ | (پ-۱) |
| $D_{12} = K'_n(ar)$ | (پ-۲) |

این تأثیر در فرکانس‌های پایین، ناحیه سختی کنترل چشمگیرتر است. همچنین افزایش عدد ماخ سبب شیفت فرکانس کویسیدنس به سمت فرکانس‌های بالا می‌شود که باعث کاهش افت انتقال صوت در فرکانس‌های بالا (ناحیه کویسیدنس کنترل) می‌شود.

۷. نتیجه‌گیری

در این مقاله پدیده افت انتقال صوت در سازه‌های دوجداره با لایه میانی هوا بررسی شد. به دلیل تأثیرگذاری پارامترهای چرخش و برش با افزایش ضخامت جداره استوانه‌ای، از روش تئوری سه‌بعدی الاستیسیته بر پایه نیوتونی استفاده شد؛ همچنین تجزیه هلمهوتز برای حل معادله‌های حرکت استوانه‌ها به کار برده شد. در پایان تأثیر پارامترهای مختلف هندسی و فیزیکی از جمله ضخامت لایه سیال، شعاع سیلندر، جنس سیلندرها، جریان خارجی و خصوصیات سیال بررسی شد. نتایج نشان داد که با ضخامت یکسان، سازه با وجود لایه سیال نسبت به سازه تک جداره به دلیل اثر میرایی ایجادشده به‌واسطه وجود فاصله هوایی، اثربخشی بیشتری در افت انتقال صوت دارد. علاوه بر این افزایش ضخامت لایه سیال باعث بهبودی و افزایش افت انتقال صوت شد. اثبات شد که با کوچک‌تر شدن شعاع متوسط سازه، افت انتقال صوت بهبود می‌یابد، چون کاهش شعاع، افزایش سختی و صلبیت خمی استوانه را در پی دارد. این تأثیرگذاری در فرکانس‌های بالا بر افت صدا افزایش شعاع در فرکانس‌های بالا نداشت. همچنین نشان داده شد که سیال با مقاومت صوتی بیشتر باعث افزایش افت انتقال صوت می‌شود. تأثیر سرعت جریان خارجی بر افت انتقال صوت چشمگیر بود، به‌خصوص در فرکانس‌های پایین، زیرا که وجود جریان خارجی باعث ایجاد سختی منفی در سازه



$$\begin{aligned}
& \bar{\tau}_{r\theta}(r) \\
&= \left\{ -2\mu \left(\frac{n}{r}\right) I'_n(\alpha r) \right. \\
&\quad + 2\mu \left(\frac{n}{r^2}\right) I_n(\alpha r) \Big\} A_1 \\
&\quad + \left\{ -2\mu \left(\frac{n}{r}\right) K'_n(\alpha r) \right. \\
&\quad + 2\mu \left(\frac{n}{r^2}\right) K_n(\alpha r) \Big\} B_1 \\
&\quad + \left\{ -\mu \left(\frac{n}{r}\right)^2 I_n(\beta r) - \mu I''_n(\beta r) \right. \\
&\quad + \left(\frac{\mu}{r}\right) I'_n(\beta r) \Big\} A_2 \\
&\quad + \left\{ -\mu \left(\frac{n}{r}\right)^2 K_n(\beta r) - \mu K''_n(\beta r) \right. \\
&\quad + \left(\frac{\mu}{r}\right) K'_n(\beta r) \Big\} B_2 \\
&\quad + \left\{ i\mu k_{1z} \left(\frac{n+1}{r}\right) I_{n+1}(\beta r) \right. \\
&\quad - i\mu k_{1z} I'_{n+1}(\beta r) \Big\} A_3 \\
&\quad + \left\{ i\mu k_{1z} \left(\frac{n+1}{r}\right) K_{n+1}(\beta r) \right. \\
&\quad - i\mu k_{1z} K'_{n+1}(\beta r) \Big\} B_3
\end{aligned} \tag{۲۰-پ}$$

$$\begin{aligned}
& \bar{\tau}_{rz}(r) \\
&= \left\{ -i2\mu k_{1z} I'_n(\alpha r) \right\} A_1 \\
&\quad - \left\{ i2\mu k_{1z} K'_n(\alpha r) \right\} B_1 \\
&\quad - \left\{ i\mu k_{1z} \left(\frac{n}{r}\right) I'_n(\beta r) \right\} A_2 \\
&\quad - \left\{ i\mu k_{1z} \left(\frac{n}{r}\right) K'_n(\beta r) \right\} B_2 \\
&\quad + \left\{ \mu \left(\frac{n+1}{r^2} - k_z^2\right) I_{n+1}(\beta r) \right. \\
&\quad - \mu \left(\frac{n+1}{r}\right) I'_{n+1}(\beta r) \Big\} A_3 \\
&\quad - \mu I''_{n+1}(\beta r) \Big\} \\
&\quad + \left\{ \mu \left(\frac{n+1}{r^2} - k_z^2\right) K_{n+1}(\beta r) \right. \\
&\quad - \mu \left(\frac{n+1}{r}\right) K'_{n+1}(\beta r) \Big\} \\
&\quad - \mu K''_{n+1}(\beta r) \Big\} B_3
\end{aligned} \tag{۲۱-پ}$$

۱۰. مأخذ

- [1] London A. Transmission of reverberant sound through double walls. J Acoust Soc Am 1950;22:270–9.
- [2] White PH, Powell A. Transmission of random sound and vibration through a rectangular double wall. J Acoust Soc Am 1966;40:821–32.
- [3] Mulholland KA, Parbrook HD, Cummings A. The transmission loss of double panels. J Sound Vib

$$\begin{aligned}
D_{13} &= \left(\frac{n}{r}\right) I_n(\beta r) && (۳-پ) \\
D_{14} &= \left(\frac{n}{r}\right) K_n(\beta r) && (۴-پ) \\
D_{15} &= -ik_{1z} I_{n+1}(\beta r) && (۵-پ) \\
D_{16} &= -ik_{1z} K_{n+1}(\beta r) && (۶-پ) \\
D_{21} &= -\frac{n}{r} I_n(\alpha r) && (۷-پ) \\
D_{22} &= -\frac{n}{r} K_n(\alpha r) && (۸-پ) \\
D_{23} &= -I'_n(\beta r) && (۹-پ) \\
D_{24} &= -K'_n(\beta r) && (۱۰-پ) \\
D_{25} &= -ik_{1z} I_{n+1}(\beta r) && (۱۱-پ) \\
D_{26} &= -ik_{1z} K_{n+1}(\beta r) && (۱۲-پ) \\
D_{31} &= -ik_{1z} I_n(\alpha r) && (۱۳-پ) \\
D_{32} &= -ik_{1z} K_n(\alpha r) && (۱۴-پ) \\
D_{33} &= 0 && (۱۵-پ) \\
D_{34} &= 0 && (۱۶-پ)
\end{aligned}$$

$$\begin{aligned}
D_{35} &= -\left\{ I'_{n+1}(\beta r) \right. \\
&\quad \left. - \frac{n+1}{r} I_{n+1}(\beta r) \right\} && (۱۷-پ) \\
D_{36} &= -\left\{ K'_{n+1}(\beta r) \right. \\
&\quad \left. - \frac{n+1}{r} K_{n+1}(\beta r) \right\} && (۱۸-پ)
\end{aligned}$$

میدان تنش: ماتریس (T)

$$\begin{aligned}
& \bar{\sigma}_{rr}(r) \\
&= \left\{ -\lambda \left(\left(\frac{n}{r}\right)^2 + k_{1z}^2 \right) I_n(\alpha r) \right. \\
&\quad + (\lambda + 2\mu) I''_n(\alpha r) \\
&\quad + \frac{\lambda}{r} I'_n(\alpha r) \Big\} A_1 \\
&\quad + \left\{ -\lambda \left(\left(\frac{n}{r}\right)^2 + k_{1z}^2 \right) K_n(\alpha r) \right. \\
&\quad + (\lambda + 2\mu) K''_n(\alpha r) \\
&\quad + \frac{\lambda}{r} K'_n(\alpha r) \Big\} B_1 \\
&\quad + \left\{ 2\mu \left(\frac{n}{r}\right)^2 I'_n(\beta r) \right. \\
&\quad - 2\mu \left(\frac{n}{r^2}\right) I_n(\beta r) \Big\} A_2 \\
&\quad + \left\{ 2\mu \left(\frac{n}{r}\right)^2 K'_n(\beta r) \right. \\
&\quad - 2\mu \left(\frac{n}{r^2}\right) K_n(\beta r) \Big\} B_2 \\
&\quad + \left\{ -i2\mu k_{1z} I'_{n+1}(\beta r) \right\} A_3 \\
&\quad + \left\{ -i2\mu k_{1z} K'_{n+1}(\beta r) \right\} B_3
\end{aligned} \tag{۱۹-پ}$$

۲۲
سال ۱ - شماره ۱
۱۴۰۰ - پاییز و زمستان
نشریه علمی دانش و فناوری هوا فضا



بررسی ارگانیزاسیون آکادمیکی استوارهای خود را بر اساسی با وجود
لایه مغایر سیال قبل تراکم با اسناد از تئوری سه بعدی الگوییزینه

2011;32:701–18.

- [15] Zhou J, Bhaskar A, Zhang X. The effect of external mean flow on sound transmission through double-walled cylindrical shells lined with poroelastic material. *J Sound Vib* 2014;333:1972–90.
- [16] Zhao X, Zhang B, Li Y. Vibration and acoustic radiation of an orthotropic composite cylindrical shell in a hygroscopic environment. *J Vib Control* 2017;23:673–92.
- [17] He C, Liu Y, Sebastian A. Effects of external and gap mean flows on sound transmission through a double-wall cylindrical shell lined with poroelastic materials. Proc. 22nd Int. Congr. Sound Vib., 2015, p. 64.
- [18] Liu Y, He C. On sound transmission through double-walled cylindrical shells lined with poroelastic material: comparison with Zhou' s results and further effect of external mean flow. *J Sound Vib* 2015;358:192–8.
- [19] Liu Y, He C. Analytical modelling of acoustic transmission across double-wall sandwich shells: Effect of an air gap flow. *Compos Struct* 2016;136:149–61.
- [20] Liu Y, He C. Diffuse field sound transmission through sandwich composite cylindrical shells with poroelastic core and external mean flow. *Compos Struct* 2016;135:383–96.
- [21] Daneshjou K, Talebitooti R, Tarkashvand A. Analysis of sound transmission loss through thick-walled cylindrical shell using three-dimensional elasticity theory. *Int J Mech Sci* 2016;106:286–96.
- [22] Tarkashvand, A., K. Daneshjou, and A. Golmohammadi. FG and viscoelastic model combination for vibroacoustic modeling of sandwich structures made of open and closed cell foam materials. *Composite Structures* 259 (2021): 113438.
- [23] Golzari, M. and Jafari, A.A., 2018. Sound transmission loss through triple-walled cylindrical shells with porous layers. *The Journal of the Acoustical Society of America*, 143(6), pp.3529–3544.
- 1967;6:324–34.
- [4] Ford RD, Lord P, Williams PC. The influence of absorbent linings on the transmission loss of double-leaf partitions. *J Sound Vib* 1967;5:22–8.
- [5] Grosveld FW, Coats TJ, Lester HC, Silcox RJ. A numerical study of active structural acoustic control in a stiffened, double wall cylinder. *Noise Con 1994 Proc. 1994 Natl. Conf. Noise Control Eng.*, 1994, p. 403–8.
- [6] Lee J-H, Kim J. Analysis and measurement of sound transmission through a double-walled cylindrical shell. *J Sound Vib* 2002;251:631–49.
- [7] Iwashige H. A practical method of estimating sound transmission loss of double walls: a proposal and its application to the popular case of light panels and air gap 1981.
- [8] Xin FX, Lu TJ, Chen CQ. External mean flow influence on noise transmission through double-leaf aeroelastic plates. *AIAA J* 2009;47:1939–51.
- [9] Zhou J, Bhaskar A, Zhang X. Sound transmission through a double-panel construction lined with poroelastic material in the presence of mean flow. *J Sound Vib* 2013;332:3724–34.
- [10] Liu Y, Sebastian A. Effects of external and gap mean flows on sound transmission through a double-wall sandwich panel. *J Sound Vib* 2015;344:399–415.
- [11] Tang Y, Robinson J, Silcox R. Sound transmission through a cylindrical sandwich shell with honeycomb core. *34th Aerosp. Sci. Meet. Exhib.*, 1996, p. 877.
- [12] Tang YY, Silcox RJ, Robinson JH. Sound transmission through two concentric cylindrical sandwich shells 1996.
- [13] Ghinet S, Atalla N, Osman H. Diffuse field transmission into infinite sandwich composite and laminate composite cylinders. *J Sound Vib* 2006;289:745–78.
- [14] Daneshjou K, Ramezani H, Talebitooti R. Wave transmission through laminated composite double-walled cylindrical shell lined with porous materials. *Appl Math Mech*





- [24] Valvano, S., Alaimo, A. and Orlando, C., 2019. Sound transmission analysis of viscoelastic composite multilayered shells structures. *Aerospace*, 6(6), p.69.
- [25] Valvano, S., Alaimo, A. and Orlando, C., 2020. Analytical analysis of sound transmission in passive damped multilayered shells. *Composite Structures*, 253, p.112742.
- [26] Wang, X.Z., Chen, L., Li, N., Xia, Y. and Xiong, Y.P., 2020. An Experimental and Modeling Study on Vibro-Acoustic Response of Double-Walled Steel Cylindrical Shells. *International Journal of Steel Structures*, 20(4), pp.1081-1099.
- [27] Sadd MH. *Elasticity: theory, applications, and numerics*. Academic Press; 2009.
- [28] Hamidzadeh HR, Jazar RN. *Vibrations of thick cylindrical structures*. Springer; 2010.
- [29] Koval LR. On sound transmission into a thin cylindrical shell under “flight conditions.” *J Sound Vib* 1976;48:265–75.
- [30] Sgard, F., Atalla, N., & Nicolas, J. (1994). Coupled FEM-BEM approach for mean flow effects on vibro-acoustic behavior of planar structures. *AIAA journal*, 32(12), 2351–2358.

پی‌نوشت

-
- 1- Sound Transmission Loss
 - 2- Air gap
 - 3- Aeroelastic
 - 4- Poroelastic
 - 5- Biot's theory
 - 6- First order Shear Deformation Theory
 - 7- Mindlin theory
 - 8- Orthotropic
 - 9- Classical Shell Theory
 - 10- Love's thin shell theory
 - 11- Viscoelastic
 - 12- Functionally graded material
 - 13- linear sweep frequency
 - 14- Wavenumber
 - 15- Modified Bessel function
 - 16- Dips
 - 17- Critical frequency
 - 18- Coincidence frequency
 - 19- Ring frequency
 - 20- Acoustic impedance